

استخدام طرق المعالجة الرقمية ونظم المعلومات الجغرافية في تشخيص وحدات خارطة الترب لمنطقة غرب مكحول في محافظة صلاح الدين

عمار سعدي إسماعيل وخضير زين ضاحي وصبار عبد الله صالح
قسم التربة والمياه-كلية الزراعة-جامعة تكريت-العراق

الخلاصة

الكلمات الدالة : هدفت هذه الدراسة إلى معرفة إمكانية استخدام تقنيات الاستشعار عن بعد ونظم المعلومات الجغرافية (GIS) في المساهمة في عمليات مسح الترب المعالجة الرقمية ، من خلال تحديد ورسم وحدات خارطة الترب ، استخدمت في هذه الدراسة بيانات مرجعية تمثلت بمربعات فضائية لمنطقة بتاريخ مختلف وبالمتحسس نظم المعلومات الجغرافية ، راسم الخرائط الغرضي (TM) للقرم الصناعي Landsat 7 مع خرائط جيولوجية وطوبوغرافية وخرائط مسح وتصنيف الترب إضافة إلى عدد من البرمجيات كبرنامج Erdas8.6 وبرنامج Arc GIS 9.2 ، تم انتخاب الحزم الطيفية التي تمتلك أعلى معامل اختلاف واستخدامها للتعبير عن الاختلافات الجغرافية ، الموجودة في سطح الأرض لمنطقة الدراسة ، وبعد ذلك أجريت المعالجة الرقمية للمربعات الفضائية باستخدام التصنيف الموجه وغير الموجه لها لمنطقة محافظة صلاح الدين . أظهرت النتائج أن الحزم الطيفية المنتخبة (السابعة،الثالثة والثانية) للمربعة الفضائية المنقطعة عام 2000 والحزم الطيفية المنتخبة (السابعة،الخامسة والثالثة) للمربعة الفضائية المنقطعة عام 2007 كانت أفضل التوليفات المنتخبة لأغراض التفسير والتصنيف التي ساهمت في تحديد وحدات الترب ، وأظهرت وحدة الكتبان الرملية والصفائح الرملية كأصناف متميزة ومعزولة بينما أظهرت الترب المتأثرة بالملوحة والترب الكلسية والمراسلة : عمار سعدي إسماعيل قسم التربة والمياه -كلية الزراعة-جامعة تكريت-

العراق

الاستلام:26-6-2011

القبول:8-9-2011

Use of Digital Analysis and GIS in Identification of Soil Map Units of West Makhool Area of Salahddin Province

Ammar S. Ismaeel , Khudayer Z. Dhahi and Sabbar A. Saleh
Department of Soil and Water-College of Agriculture-Tikrit University.

KeyWords:

Digital Analysis,
GIS, Salahddin

Correspondence:

Ammar S. Ismaeel
Department of
Soil and Water-
College of
Agriculture-Tikrit
University

Received:26-6-2011

Accepted:8-9-2011

Abstract :

This study was posed to understand the ability of remote sensing technology and GIS as a tool to enhance soil survey operations throughout identification of soil map units . Three space images taken by Thematic Mapper sensor (TM) of Landsat 7 as well as geological , topographic, and soil survey map were used as reference data . Erdas 8.6 arc GIS 9.2. were used as softwares . Spectral bands of highest coefficient of variation (c.v) were selected to be used for identification of band surface variation of the study area . Digital analysis of space images was carried out and supervised and unsupervised classification were also performed for the study area. Results of remote sensing indicated that selected spectral bands 2,3 and 7 of image taken during the year 2000 and bands 3,5, and 7 of images taken during the year 2007 represent the best combination to be used in image classification for soil map units identification purposes. However sand dunes and sand sheet units appeared to be distinguished and isolated classes where as salt-affected , calcareous and gypsiferous soils appeared in some cases as distinguished classes and in other cases overlapped . Results also indicated that unsupervised classification consisted of six classes was the best choice for identification of soil map units in this particular area .The unsupervised classification had a high capability of preparing preliminary soil maps , and providing similar classes of those prepared by the 9 – classes supervised classification . Results also indicated that the role of GIS software in map correction is very important throughout over lapping similar features appeared on space image and other maps .In addition, soil map units can be identified and drawn depending on supervised and unsupervised classification methods which may reduce efforts and costs of soil survey operations. Moreover data results can be stored and reused again whenever are needed.

المقدمة

تعد تقنية الاستشعار عن بعد وسيلة لجمع المعلومات والبيانات وتفسيرها عن الموارد الطبيعية للبيئة من دون التماس المباشر معها باستخدام الصور الجوية أو المرئيات الفضائية وبواسطة أحد المتحسسات المعروفة وبصورة دورية وبدقة عالية ، إذ أصبحت الحاجة ضرورية وملحة للاستفادة من هذه التقنية ، لما تعانيه الموارد الطبيعية من كوارث بيئية وعمليات تصحر التي انتشرت في السنوات الأخيرة ولما تقدمه هذه التقنية من إمكانية التنبؤ بالخطر أو الإنذار المبكر ، وبالتالي أخذ التدابير اللازمة للمحافظة على الموارد الطبيعية . وفي مجال دراستنا لمسح الترب وتصنيفها جاءت هذه التقنية كوسيلة أو أداة فعالة في عمليات مسح الترب وتصنيفها وليست بديلة عنها ، وتعد عمليات مسح الترب وإعداد خرائطها من العمليات التطبيقية التي تهتم بدراسة خواص الترب ومعرفة درجة تطورها وتحديد وحداتها وكيفية توزيعها جغرافياً وفي نفس الوقت تعد من العمليات التي تحتاج إلى وقت طويل وجهد كبير ، واختصاراً للوقت والجهد والتكلفة الاقتصادية بدأت تعتمد على معطيات الاستشعار عن بعد لما توفره من معلومات لأي منطقة على سطح الأرض ، فهي تعد المصدر الرئيس للبيانات الجغرافية ، و تقوم هذه التقنية بالحصول على البيانات ومعالجتها لأي مكان في العالم بتكلفة منخفضة وبجهد ووقت قليل نسبياً ، كما انه يمكن دمج البيانات الناتجة من تفسير تقنية الاستشعار عن بعد مع طبقات البيانات الأخرى في نظم المعلومات الجغرافية وهذه هي الميزة الرئيسة التي تتميز بها نظم المعلومات الجغرافية فضلاً عن ذلك فان هذه البيانات قابلة للتحديث (fazal , 2008) . إن عملية إعداد الخرائط تطورت وبشكل كبير وبخاصة بعد إطلاق سلسلة من الأقمار الصناعية وظهور نمط جديد في التصوير المساحي (Photogrammetry) وهي عملية إعداد الخرائط اعتماداً على مرئيات الأقمار الصناعية المختلفة (الزيدي ، 2005) ، فالسنوات الأخيرة شهدت انتقالاً كبيراً وملحوظاً في صنع الخرائط من اعتمادها على أساليب المساحة الأرضية إلى اعتمادها في الوقت الحاضر على الصور الجوية والمرئيات الفضائية التي أصبح

بالإمكان إعداد خرائط لمناطق غير ممسوحة سابقاً إما لكلفتها العالية أو لصعوبة الوصول إليها ، و أصبحت الخرائط تعد باستخدام نظم المعلومات الجغرافية التي تضم مجموعة برامج متخصصة في رسم وإنتاج الخرائط ، و تقوم هذه البرامج بإعداد وإدارة طبقات وفصلها وتمثيلها وبناء طبقة خاصة لكل ظاهرة على حدة ، ومجموع الطبقات يؤدي إلى إنتاج خارطة كأن تكون (طبوغرافية)مثلاً أو أن تعزل بعض الطبقات لتكون خارطة موضوعية بحسب الغرض منها اعتماداً على معطيات الاستشعار عن بعد (Parry , 1987). كما أصبح بالإمكان مع تقدم البرمجيات التي تستخدم بالمعالجة الرقمية للمرئيات الفضائية إجراء طرق التصنيف (الموجه Supervised وغير الموجه Unsupervised) التي تساهم بدرجة كبيرة في إعداد خرائط أولية للتربة المنطقية المراد دراستها . وفي ضوء ما تقدم وتوصلاً مع تقدم تقنيات الاستشعار عن بعد وأنظمة المعلومات الجغرافية وبخاصة في مجال إعداد خرائط الترب تهدف الدراسة إلى تقييم الخواص الفيزيائية والكيميائية للتربة في المنطقة . محاولة تحديد وحدات الترب في المنطقة باستخدام طرق التصنيف الرقمي (الموجه وغير الموجه) ثم رسم وإعداد خارطة للتربة لمنطقة الدراسة .

المواد وطرائق البحث

تقع منطقة الدراسة شكل 1 ضمن الحدود الإدارية لمحافظة صلاح الدين ،فهي تمتد ما بين مدينة بيجي جنوباً والشرقاط شمالاً ، غرب نهر دجلة وعلى طول الجناح الغربي لطية مكحول التي تعد أحد أكبر الظواهر الجيولوجية البارزة في منطقة الدراسة. وتتحصر إحداثياتها الجغرافية ما بين خطي طول (43°14 0) و(43°22 0) ودائرتي عرض (35°4 0) و(35°12 0) ، أما إحداثياتها التربيعية فتتحصر بين (3880000 & 3896000) من الشمال و(337000 & 352000) من الشرق، كما تبلغ مساحتها الكلية حوالي (98,93) كم² وطبوغرافية المنطقة بشكل عام مستوية تتخللها بعض الوديان ،مثل (وادي الجمال ووادي المتسلطن)مع وجود مناطق للكثبان الرملية التي تزداد كلما اتجهنا غرب المنطقة وجنوبها كما تخترق المنطقة سكك حديد بغداد - الموصل .



شكل رقم (1) خارطة موقعية لمنطقة الدراسة موضحة فيها المرئية الفضائية الملتقطة ومواقع البيدونات المدروسة

وطرق ووديان والاستفادة منها كبيانات مرجعية . وتوضح الجداول (1 و 2) البيانات المرجعية التي أستخدمت في هذا البحث من مرئيات فضائية وخرائط جيولوجية وطبوغرافية وخارطة مسح التربة .

لأجل استخدام تقنية الاستشعار عن بعد ونظم المعلومات الجغرافية في هذه الدراسة تم جمع عدة خرائط طبوغرافية وجيولوجية وخرائط تربة ومرئيات فضائية بحيث تغطي منطقة الدراسة وتكوين صورة عن المنطقة وتسقيط بعض المعالم من قري

جدول رقم (1) البيانات المتعلقة بالمرئيتين الفضائيتين المستخدمة في منطقة الدراسة .

اسم القمر الاصطناعي	نوع المتحسس	دقة التمييز (متر)	نوع المرئية	عدد الحزم الموجية*	تاريخ الالتقاط
Landsat 7	TM	30 M	ملونة طبيعية	7	6 / 4 / 2000
Landsat 7	TM	30 M	ملونة طبيعية	7	19 / 9 / 2007

جدول رقم (2) الخرائط الطبوغرافية والجيولوجية وخارطة تصنيف التربة المستخدمة في الدراسة .

ت	نوع الخريطة	رقم الخريطة	مقياس الرسم	سنة الإصدار	جهة الإصدار
1	طبوغرافية	I-38-B-SW	1 \ 100000	1989	مديرية المساحة العسكرية
2	جيولوجية	-	1 \ 250000	1991	الشركة العامة للمسح الجيولوجي والتعدين
3	تصنيف التربة	C ₄	1 \ 50000	2002	الشركة العامة لبحوث الموارد المائية والتربة - قسم تحريات التربة

واستخدم في هذه الدراسة جهاز تحديد المواقع العالمي (GPS) Global Position System من نوع (GARMIN GPS 12) .

المختلفة من وحدات الصور وحساب المساحات لكل صنف وإخراج الأعمال النهائية للصور المختلفة، وشملت البرامج المستخدمة :

البرامجيات التي أستخدمت في الدراسة استخدم في هذه الدراسة عدد من البرامجيات المختلفة لتصحيح الخرائط وتصنيف وعزل الطبقات

أولاً :- برنامج (ERDAS IMAGIN (Version 8.6) ثانياً
:- برنامج (Arc GIS (Version 9.2) ثالثاً :- برنامج

تحويل الوحدات Tatuk GIS

الإسناد الجغرافي أجريت مرجعية مكانية لجميع الخرائط الطبوغرافية والجيولوجية و خارطة مسح التربة ، وذلك بإسناد إحدائيات الخريطة إلى بيانات الصورة وإعادة تجميع عناصر الصورة (Pixel) بحيث تتطابق مع شبكة الإسقاط الخرائطي ، أي عمل مرجعية مكانية لخارطة الأساس (Base Map) وذلك باختيار معالم واضحة منها معلومة لدينا إحدائياتها الجغرافية والتربيعية أو قراءة الإحدائيات من جوانب الخارطة الأربعة .

تصنيف المرئيات الفضائية تم إجراء عملية التصنيف للمرئيات الفضائية المستخدمة في هذه الدراسة بنوعيه : التصنيف الموجه (Supervised Classification) والتصنيف غير الموجه (Unsupervised Classification) ، فمن خلال إجراء عملية التصنيف الرقمي نتمكن من توفير معلومات كمية وبشكل دقيق ، إذ يمكن من خلاله الاستفادة من المعلومات الطيفية بشكل فعال ، إذ يمكن استخدام معظم أو جميع الحزم الطيفية عن المنطقة المتوفرة في عملية التصنيف (Apline ,et al.,1997)

بعد أن تمت مرحلة جمع البيانات المرجعية من خرائط ومرئيات فضائية وأجريت عليها المعالجات الرقمية وتحويل الوحدات وتسقيط المعالم المهمة في منطقة الدراسة والقيام بتصنيف المنطقة تصنيفاً غير موجه أصبحت لدينا صورة واضحة عن المنطقة . بعدها تم القيام بعدد من الجولات الميدانية الاستطلاعية للتأكد من بعض المعالم المسقطة سابقاً والتعرف على طبوغرافية المنطقة ، وتم تحديد المواقع الممثلة التي سيتم أخذ العينات منها ، و تم تحديد (7) مواقع لتغطية منطقة الدراسة وأخذت إحدائياتها التربيعية بواسطة جهاز الـ GPS وسقطت فيما بعد على الخارطة ، بعدها تم حفر البيدونات الممثلة لهذه المواقع ووصفت مورفولوجياً حسب الأصوليات الواردة في دليل مسح التربة (Soil , 1993 , Survey Staff) ثم أخذت عينات من الأفاق الممثلة لكل بيدون ووضعت في أكياس نايلون ونقلت إلى المختبر ليتم فيما بعد دراسة خواصها الفيزيائية والكيميائية . جففت النماذج هوائياً وتم طحنها باستخدام مطرقة خشبية ثم مررت من منخل قطر فتحاته (2) ملم وحفظت في علب بلاستيكية مثبت عليها اسم الأفق وعمقه

ورقم البيدون وبذلك أصبحت جاهزة لأجراء التحاليل المختبرية عليها.

قدر التوزيع الحجمي لدقائق التربة (النسجة) بإتباع طريقة الماصة الموصوفة من قبل (Klimer & Alexander , 1949) . كما قدرت الكثافة الظاهرية بطريقة المدرة Clod method حسب طريقة (Blake , 1965) الواردة في (Black,1965) . و قدرت درجة تفاعل التربة والايصالية الكهربائية في مستخلص تربة : ماء (1 : 1) وبحسب ما ورد في (Richards, 1954) . كما قدرت السعة التبادلية الكاتيونية (CEC) بواسطة التسحيح مع صبغة المثل الزرقاء بحسب الطريقة التي ذكرها (Savant, 1994) . أما الجبس فقد تم تقديره عن طريق استخلاصه بالماء المقطر وذلك باختيار نسبة تخفيف مناسبة تربة : ماء والترسيب بالأسيتون والتي ذكرها الزبيدي وآخرون (1981) . كما قدرت كاربونات الكالسيوم الكلية باستعمال حامض الهيدروكلوريك (3M) عن طريق تحديد الفقد بالوزن لغاز CO₂ بحسب الطريقة 23 المذكور في (Richards, 1954) . و قدرت المادة العضوية بحسب طريقة الهضم الرطب (Walkely & Black) بأكسدة التربة بدايكرومات البوتاسيوم وحامض الكبريتيك المركز ثم التسحيح مع (I عياري) من كبريتات الحديدوز (Jackson , 1958) .

النتائج والمناقشة

يتضح من خلال الوصف المورفولوجي ونتائج التحاليل المختبرية لبعض الصفات الفيزيائية والكيميائية لبيدونات ترب منطقة الدراسة إلى وجود الأفق التشخيصي السطحي (Ochric Epipedon) والأفق التشخيصي تحت السطحي (Calcic Endopedon) وبما أن ترب منطقة الدراسة تقع ضمن النظام الرطوبي (Aridic) وضمن النظام الحراري (Hyperthermic) إذ تبقى التربة في معظم أجزائها جافة ولمعظم فصول السنة فهي تقع ضمن رتبة التربة الجافة (Aridisols) (Soil Survey Staff , 1999) ، ولكون بيدونات ترب منطقة الدراسة تحتوي على أفق جبسي مع الأفق الكلسي فهي تقع ضمن " تحت الرتبة " (Gypsids) وضمن " المجموعة العظمى " (Calcigypsids) كما صنفت ترب منطقة الدراسة على مستوى السلسلة وبحسب ما جاء في مقترح (Al - agidi , 1981) وبحسب الجدول رقم (3) .

جدول رقم (3) تصنيف ترب منطقة الدراسة

Pedon	Great group	Great group	Family	Soil Series	Soil Series
	1949 system	Soil Survey Staff 1999		Al – agidi 1981	Soil Map of North Tikrit Project
P ₁	Desert soil	Calcigypsis	Medium loamy, palygorskitic, calcarreous hyperthermic, of the Typic Calcigypsis	121FKE	Machol Series : Coarse Loamy,hyperthermic,Family, mixed of Typic Calciorthids.
P ₂	Desert soil	Calcigypsis		121FKE	AL- Khadrania Series : Fine Loamy ,hyperthermic Family, Gypsid of Calcigypsiorthids.
P ₃	Desert soil	Calcigypsis		111FKE	AL Saffa Series : Fine Silty,hyperthermic Family, Gypsid of Typic Gypsiorthids.
P ₄	Desert soil	Calcigypsis		131FKE	Shargat Series : Coarse Silty,hyperthermic family.of Calcigypsiorthids.
P ₅	Desert soil	Calcigypsis		131FKE	Hatra series : Fine Loamy , hyperthermic , Family , Gypsid of Typic Gypsiorthids.
P ₇	Desert soil	Calcigypsis		131FKE	
P ₆	Desert soil	Haplocalcids		Medium loamy, palygorskitic, Calcarreous, hyperthermic, of the Typic Haplocalcids	121FCE

التماسك (Extremely firm) لبعض الأفاق تحت السطحية ولجميع البيدونات ، ويعزى الاختلاف في طبيعة خواص القوامية إلى الاختلاف في طبيعة المكونات المعدنية لدقائق التربة بالإضافة إلى الاختلاف في محتوى الأفاق من المادة العضوية والكلس والجبس أما الحدود الفاصلة بين الأفاق السطحية للبيدونات المدروسة فقد تراوحت بين الفجائية (Abrupt) والواضحة (Clear) في درجة وضوحها ومستوية (Smooth) في طوبوغرافيتها إن وجود الحدود الفجائية في مثل هذه الترب يعود إلى تكرار عمليات الحرارة وعمق ثابت في مثل هذه الأراضي ، أما الأفاق تحت السطحية فكانت الحدود الفاصلة بينها تتراوح بين الواضحة (Clear) إلى التدريجية (Gradua) وهذا يعود إلى طبيعة الترسيب عند تكوين هذه الترب. أما توزيع الجذور فأشار الوصف المورفولوجي إلى قلة تواجدها في ترب منطقة الدراسة بسبب انخفاض كثافة الغطاء النباتي بصورة عامة ، كما أن حجم هذه الجذور في حالة وجودها هو الحجم الدقيق جداً (very fine) ومن النوع الليفي (Fibrous) إذ إن الغطاء النباتي السائد هو من نوع الأعشاب الحولية القصيرة.

ظهر من الوصف المورفولوجي (جدول رقم 4) إلى أن قيم طول الموجة السائدة (Hue) لجميع بيدونات ترب منطقة الدراسة كانت (10YR) ، إذ تقع أغلب ترب المناطق الجافة وشبه الجافة ضمن هذه الموجة حيث لون التربة كان شاحباً بسبب قلة المادة العضوية فضلاً عن ارتفاع محتوى الكلس والجبس لعموم بيدونات الترب المدروسة ، وأشار الوصف المورفولوجي إلى أن نوع التركيب السائد لمعظم بيدونات ترب منطقة الدراسة ولجميع الأفاق كان كتلياً غير حاد الزوايا أما درجة التركيب فقد كانت ضعيفة (weak) للأفاق السطحية وتراوحت بين الضعيف (weak) إلى المتوسط (Moderate) للأفاق تحت السطحية ، أما أحجام التركيب (class) (Moderate) فتراوحت بين الناعم جداً (very fine) إلى الخشن (coarse) للأفاق السطحية وتحت السطحية ولجميع البيدونات ، ويعود هذا الاختلاف في طبيعة تركيب التربة إلى طبيعة ترسيب المادة الأصل والاختلاف في كمية ونوعية المواد الرابطة مثل الجبس والكلس في الأفاق تحت السطحية أما القوامية فكانت قليلة الصلابة (Slightly hard) إلى فائقة الصلابة (Extremely hard) في الحالة الجافة ، أما في الحالة الرطبة فقد كانت هشّة (Friable) إلى فائقة

جدول رقم (4) الخواص المورفولوجية لبيدونات ترب الدراسة

Pedon 1						
Horizon	Depth(cm)	Colour*	Structure**	Consistence***	Boundary	Notes
A ₁	0 – 13	10YR 5 / 6 (m) 10YR 7/ 4 d	v.w.med.sbk	s.h(d) ,firm(m)	clear smooth	v.few , v.fine
(B) _k	13 – 26	10YR 4 / 6 (m) 10YR 6 / 4 (d)	mod.med.sbk	v.h(d) ,firm(m)	clear smooth	v.few , fine
C _{1k}	26 – 47	10YR 4 / 4 (m) 10YR 6 / 4 (d)	mod.f.sbk	s.h(d)	clear smooth	Many Lime
C _{2ky}	47 – 70	10YR 6 / 6 (d)	w.c.sbk	s.h(d)	clear smooth	
C _{3y}	70 – 100 ⁺	10YR 4 / 6 (d)	w.v.c.sbk	ext.h(d)		
Pedon 2						
A ₁	0 – 14	10YR 4 / 4 (moist) 10YR 6/ 4 (d)	w.med.mod.sbk	s.h (d)	clear smooth	
(B) _k	14 – 25	10YR 4 / 6 (m)	mod.c.sbk	v.h (d)	clear smooth	
C _{1y}	25 – 43	10YR 6 / 4(m)	Med.sbk	v.h (d)	clear smooth	
C _{2y}	43 – 62	10YR 6 / 4(m)	mod.v.c.sbk	v.h (d)	clear smooth	
C _{3y}	62 – 90 ⁺	10YR 6/3(d)	w.v.c.sbk	ext.h (d)		
Pedon 3						
A ₁	0 – 10	10YR 6 / 4 (d)	Single graine massive.c	s.h.fri(m)	clear smooth	
(B) _k	10 – 30	10YR 4 / 6 (m) 10YR 6 / 4 (d)	mod.C.sbk	s.h.fri(m)	clear smooth	
C _{1k}	30 – 45	10YR 4 / 4 (m) 10YR 6 / 4 (d)	Med.sbk.	v.h(d).firm(m)	clear smooth	Excumulation of lime 30% of surface .
C _{2k}	45 – 64	10YR 6 / 6 (d)	mod.v.c.sbk.	v.h(d).ext.firm(m)	clear smooth	
C _{3y}	64 – 85	10YR 4 / 6 (d)	mod.v.c.sbk	ext.h(d).v.firm(m)	clear smooth	Excumulation of gypsum in soil matrix.
C _{4v}	85 – 115 ⁺	10YR 4 / 6(d)	mod.med.sbk	h(d).v.firm(m)		
Pedon 4						
A ₁	0 – 10	10YR 5 / 4 (m) 10YR 6/ 3 (d)	w.c.sbk.	s.h(d).firm(m)	abrupt smooth	v.few , v.fine roots
(B) _{ky}	10 – 24	10YR 7 / 2 (d) 10YR 5/ 4 (m)	Mod.v.c.angular blocky	v.h(d).v.firm(m)	clear smooth	v.few , v.fine roots
C _{1ky}	24 – 45	10YR 7 / 2 (d) 10YR 6 / 4 (m)	w.med.sbk	s.h(d).v.fri(m)	clear smooth	
C _{2y}	45 – 62	10YR 7 / 3 (d) 10YR 7 / 4 (m)	w.med.sbk	v.h(d).h(m)	clear smooth	
C _{3y}	62 – 84	10YR 7 / 3 (d) . 10YR 6 / 4 (m)	mod.med.sbk.	v.h(d).v.firm(m)	gradual smooth	Excumulation of gypsum in the soil matrix .
C _{4v}	84 – 110 ⁺	10YR 7 / 3 dry . 10YR 6 / 4 (m)	mod.med.sbk.	v.h(d).v.firm(m)		Excumulation of gypsum in the soil matrix .

* (d) = dry (m) = moist

** v.w = very weak mod = moderate med = medium f = fine c = coarse sbk = subangular blocky

*** s = slight h = hard ext = extremely fri = friable

تابع جدول رقم (4) الخواص المورفولوجية لبيدونات ترب الدراسة

* (d) = dry (m) = moist

Pedon 5						
Horizon	Depth(cm)	Colour*	Structure**	Consistence***	Boundary	Notes
A ₁	0 – 9	10YR 5 / 6 (d) 10YR 4 / 4 (m)	w.v.fine.sbk	loose(Puffy)	abrupt smooth	Excumulation of salts .
(B) _k	9 – 17	10YR 5 / 3 (m)	w.fine.sbk	s.h.(d) .firm (m)	clear smooth	Many excumulation of lime 65% of the soil matrix .
C _{1k}	17 – 35	10YR 6 / 4 (d)	w.v.c.sbk	v.h (d)	clear smooth	Excumulation of lime + gypsum
C _{2ky}	35 – 58	10YR 5 / 4 (m)	mod.c.sbk	v.firm(m)	gradual smooth	Excumulation of gypsum .
C _{3y}	58 – 78	10YR 5 / 4 (m)	mod.v.c.sbk	ext.firm(m)	gradual smooth	Excumulation of gypsum .
Pedon 2						
A ₁	102 – 130 ⁺	10 YR 5 / 4 (m)	mod.v.c.sbk	ext.firm(m)		
(B) _k	Pedon 6					
C _{1y}	0 – 5	10YR 4 / 6 (m) . 7/ 3 (d)	w.v.c.sbk	v.h(d).v.firm(m)	abrupt smooth	v.fine . fibrous roots .
C _{2y}	5 – 17	10YR 5/ 6 (m) , 10YR 7 / 3 (d)	w.med.sbk	s.h(d)	clear smooth	
C _{3y}	17 – 33	10YR 7 / 3 (d)	mod.med.sbk	h.(d)	gradual smooth	Crystals of gypsum .
Pedon 3						
A ₁	52 – 77	10YR 5 / 4 (d)	w.c.sbk	ext.h(d)	gradual smooth	
(B) _k	77 – 107 ⁺	10YR 4/ 6 . (d)	w.v.c.sbk	ext.h(d)		
C _{1k}	Pedon 7					
C _{2k}	0 – 5	10YR 6/ 3 (d)	Plate	s.h(d)	abrupt smooth	Few . v.fine . fibreous roots.
C _{3y}	5 – 25	10YR 6 / 4 (d)	strong.fine.sbk	s.h(d)	clear smooth	Few . v.fine . fibreous roots.
C _{4y}	25 – 48	10YR 6/6 (d)	mod.c.sbk	s.h(d)	gradual smooth	
Pedon 4						
A ₁	70 – 85	10YR 7 / 3 (d)	w.v.c.sbk	ext.h(d)	clear smooth	Many stones between few cm up to fifteen in size boulders .
(B) _{ky}	85 – 103 ⁺	10YR 7/ 3 (d)	w.v.c.sbk	ext.h(d)		Crystals of gypsum
C _{1ky}	0 – 9	10YR 5 / 6 (d) 10YR 4 / 4 (m)	w.v.fine.sbk	loose(Puffy)	abrupt smooth	Excumulation of salts .
C _{2y}	9 – 17	10YR 5 / 3 (m)	w.fine.sbk	s.h.(d) .firm (m)	clear smooth	Many excumulation of lime 65% of the soil matrix .
C _{3y}	17 – 35	10YR 6 / 4 (d)	w.v.c.sbk	v.h (d)	clear smooth	Excumulation of lime + gypsum
C _{4y}	35 – 58	10YR 5 / 4 (m)	mod.c.sbk	v.firm(m)	gradual smooth	Excumulation of gypsum .

** v.w = very weak mod = moderate med = medium f = fine c = coarse sbk = subangular blocky

*** s = slight h = hard ext = extremely fri = friable

19 / 9 / 2007) ، وكما موضحة في الجداول ذات الأرقام (6,7) والتي تبين الوسط الحسابي والانحراف القياسي ومعامل الاختلاف لانعكاسية الحزم الطيفية ولجميع المرئيات . وتمت العملية باستخدام البرنامج (ERDAS – 8.6).

بينت نتائج التحاليل المختبرية لنسجة التربة والمبينة في الجدول رقم (5) بأن نسجة التربة كانت متباينة لبيدونات ترب منطقة الدراسة ، فقد تراوحت بين الرملية المزيجة (Loamy Sand) والمزيجة الرملية (Sandy Loam) والمزيجة (Loam) والمزيجة الطينية (Clay Loam) للأفاق السطحية ، أما الأفاق تحت السطحية فقد كانت النسجة تتراوح بين الرملية المزيجة (Loamy Sand) والمزيجة الرملية (Sand Loam) والمزيجة (Loam) والمزيجة الطينية الرملية (sand Clay Loam) ، كما أظهرت النتائج سيادة مفصول الرمل يليه الغرين ثم الطين للبيدونات (الثاني ، الخامس ، السادس ، السابع) بينما كانت السيادة للرمل يليه الطين ثم الغرين للبيدونات (الأول ، الثالث والرابع) أما الكثافة الظاهرية فقد تراوحت قيمها لعموم بيدونات ترب منطقة الدراسة بين (1.17 – 1.59) ميكأغرام م³ كما تراوحت درجة تفاعل التربة بين (7.14 – 7.78) أما قيم الايصالية الكهربائية فكانت متقاربة في جميع البيدونات حيث تراوحت بين (1.00 – 8.57) ديسيسمنز.م⁻¹ عدا البيدون الخامس الذي أظهرت النتائج أن درجة التوصيل الكهربائي فيه كانت مرتفعة وتراوحت بين (6.59 – 62.37) ديسي سمنز.م⁻¹ ، إذ احتوت آفاه على كمية مرتفعة من الأملاح ، كونه يمثل منطقة متأثرة بالأملاح بدرجة عالية ، كما أشارت النتائج إلى أن محتوى التربة من المادة العضوية كان منخفضاً بشكل عام ويقل مع از تراوحت قيم المادة العضوية بين (4.1 – 13.1) غم.كغم⁻¹ للأفاق السطحية، أما في الأفاق تحت السطحية فكانت القيم تتراوح بين (0.6 – 8.2) غم.كغم⁻¹ و بينت النتائج أن قيم السعة التبادلية الكاتيونية كانت منخفضة في عموم بيدونات ترب منطقة الدراسة، إذ كانت أعلى القيم في الأفاق السطحية ، وتقل مع العمق في الأفاق تحت السطحية لجميع البيدونات ، و تراوحت القيم بين (6.00 – 15.05) سنتمول.شحنة.كغم⁻¹ كما تراوح محتوى الكربونات الكلية بين (209.2 – 427.5) غم.كغم⁻¹ إذ كانت على العموم مرتفعة في جميع البيدونات وتراوحت نسب الجبس بين (0.9 – 713) غم.كغم⁻¹ . تم اختيار الحزم الطيفية الملائمة ولجميع المرئيات الفضائية باختيار الحزم التي تمتلك أعلى معامل اختلاف لانعكاسية كونها أكثر قدرة على التعبير عن الاختلاف وبالاعتماد على مبدأ الطريقة التي وصفها (عبد الهادي ، 1992) و (Goosens & Ranst, 1998) ، وكانت النتائج اختيار الحزم الطيفية (الثانية ، الثالثة والسابعة) للمرئية الفضائية الملتقطة بتاريخ (16 / 4 / 2000) والحزم الطيفية (الثالثة ، الخامسة والسابعة) للمرئية الفضائية الملتقطة بتاريخ

جدول رقم (5) بعض الصفات الفيزيائية والكيميائية لبيدونات ترب الدراسة

Pedon 1												
الكاربونات الكلية	الجبس	السعة التبادلية الكاتيونية	المادة العضوية	الاصلية الكهربية دي سي	PH	الكثافة الظاهرية	النسجة	التوزيع الحجمي لدقائق التربة			العمق (سم)	الأفق
								غم.كغم ¹⁻	سنتمول شحنة كغم ¹⁻	غم.كغم ¹⁻		
355	9	9.09	6.2	1.00	7.52	1.53	SL	160	150	690	0 – 13	A ₁
391	12	8.82	4.1	2.24	7.50	1.47	S L	200	80	720	13 – 26	(B) _k
381	41	8.56	2.7	3.29	7.45	1.52	L	200	400	400	26 – 47	C _{1k}
227	251	8.02	1.3	2.73	7.34	1.53	LS	80	160	760	47 – 70	C _{2ky}
218	301	8.02	-	2.50	7.46	1.51	SCL	280	40	680	70 – 100 ⁺	C _{3y}
Pedon 2												
373	6	10.05	6.2	3.68	7.78	1.50	SL	120	240	640	0 – 14	A ₁
350	27	8.00	4.1	4.88	7.68	1.47	SL	160	320	520	14 – 25	(B) _k
236	301	8.00	1.7	3.76	7.49	1.50	SL	160	240	600	25 – 43	C _{1y}
223	286	7.49	1.3	2.69	7.38	1.48	SL	150	160	680	43 – 62	C _{2y}
209	524	6.22	0.6	2.71	7.14	1.51	SL	40	320	640	62 – 90 ⁺	C _{3y}
Pedon 3												
323	2	8.00	4.1	2.20	7.15	1.58	LS	80	40	880	0 – 10	A ₁
323	2	8.00	2.7	2.16	7.35	1.59	SL	160	40	800	10 – 30	(B) _k
327	2	8.56	2.0	1.99	7.56	1.53	SCL	240	120	640	30 – 45	C _{1k}
364	41	8.56	1.7	2.65	7.75	1.44	SCL	240	120	640	45 – 64	C _{2k}
241	599	7.75	1.3	2.41	7.78	1.57	SL	150	290	560	64 – 85	C _{3y}
232	682	6.22	0.6	2.36	7.15	1.52	SL	140	320	540	85 – 115 ⁺	C _{4y}
Pedon 4												
368	7	14.17	10.0	3.13	7.34	1.44	CL	340	280	380	0 – 10	A ₁
355	587	9.89	5.1	4.83	7.23	1.57	CL	280	280	440	10 – 24	(B) _{ky}
259	648	8.56	1.3	3.75	7.38	1.52	SL	240	160	600	24 – 45	C _{1ky}
241	640	8.56	1.0	3.23	7.45	1.50	SL	240	120	640	45 – 62	C _{2y}
227	700	6.75	0.6	2.66	7.15	1.37	SL	120	80	800	62 – 84	C _{3y}
220	701	6.75	-	2.62	7.22	1.51	SL	40	160	800	84 – 110 ⁺	C _{4y}
Pedon 5												
427	1	12.10	10	53.71	7.45	1.29	CL	280	360	360	0 – 9	A ₁₁
314	1	12.00	8.2	62.37	7.61	1.40	SCL	280	200	520	9 – 17	A _{12k}
264	103	8.77	3.4	18.23	7.24	1.49	L	250	300	450	17 – 35	(B) _k
245	426	8.00	2.4	11.85	7.40	1.50	SCL	240	190	570	35 – 58	C _{1ky}
259	513	7.7	1.3	9.05	7.40	1.55	SL	120	200	680	58 – 78	C _{2ky}
300	603	7.7	1.3	8.29	7.66	1.56	SL	120	320	580	78 – 102	C _{3ky}
250	713	6.00	1.2	6.59	7.51	1.49	L	80	400	520	102 – 130 ⁺	C _{4ky}

تابع جدول رقم (5) بعض الصفات الفيزيائية والكيميائية لبيدونات ترب الدراسة

Pedon 6												
الكاربونات الكلية	الجبس	السعة التبادلية الكاتيونية	المادة العضوية	الاصلية الكهربية دي سي سمنز م ¹⁻	PH 1:1	الكثافة الظاهرية ميكرا غرام م ³⁻	النسجة	التوزيع الحجمي لدقائق التربة			العمق (سم)	الأفق
								غم كغم ¹⁻	غم كغم ¹⁻	الطين		
350	44	10.70	7.9	4.71	7.50	1.17	L	200	360	440	0 – 5	A ₁
236	103	10.16	3.7	8.57	7.24	1.40	SL	120	200	680	5 – 17	(B) _k
209	179	9.63	1.7	7.57	7.45	1.47	SL	200	40	760	17 – 33	C _{1k}
236	161	9.63	1.0	6.27	7.78	1.43	SL	80	240	680	33 – 52	C _{2k}
332	178	7.49	0.6	6.07	7.65	1.52	SL	100	200	700	52 – 77	C _{3k}
364	169	7.00	-	6.68	7.53	1.49	SL	80	240	680	77 – 107 ⁺	C _{4k}
Pedon 7												
382	19	15.05	13.1	2.62	7.71	1.44	CL	360	340	300	0 – 5	A ₁
373	30	9.89	8.2	3.94	7.56	1.54	L	180	440	380	5 – 25	(B) _k
368	54	9.09	3.1	3.40	7.66	1.55	SL	160	440	400	25 – 48	C _{1k}
245	624	6.15	1.7	4.43	7.63	1.37	SL	50	400	550	48 – 70	C _{2ky}
341	486	6.00	1.3	4.04	7.62	1.49	SL	50	400	550	70 – 85	C _{3ky}
340	598	6.00	1.3	4.20	7.52	1.47	SL	40	310	650	85 – 103 ⁺	C _{4ky}

تم اقتطاع منطقة الدراسة من جميع المرئيات المستخدمة في الدراسة التي تتكون كل منها من ثلاث حزم طيفية والتي تم اختيارها لكل المرئيات الفضائية بحسب الطريقة التي وصفها (عبد الهادي, 1992) و (Goosens & Ranst , 1998) . وذلك من خلال انتخاب (Band Combination) ، ويوضح الشكل رقم (2) الجزء الخاص بمنطقة الدراسة ولكل المرئيات الفضائية وبالجزء الطيفية الثلاث المختارة .

تم اقتطاع منطقة الدراسة من جميع المرئيات المستخدمة في الدراسة التي تتكون كل منها من ثلاث حزم طيفية والتي تم اختيارها لكل المرئيات الفضائية بحسب الطريقة التي وصفها (عبد الهادي, 1992) و (Goosens & Ranst , 1998) . وذلك من خلال انتخاب (Band Combination) ، ويوضح الشكل رقم (2) الجزء الخاص بمنطقة الدراسة ولكل المرئيات الفضائية وبالجزء الطيفية الثلاث المختارة .

جدول رقم (6) الوسط الحسابي والانحراف القياسي ومعامل الاختلاف لانعكاسية الحزم الستة للمرئية الفضائية الملتقطة عام 2000

Bands	Mean	Standard deviation	Coefficient of variation
1	137.572	22.303	16.21
2	143.308	32.484	22.67 *
3	186.709	52.882	28.32 *
4	101.924	22.021	21.61
5	158.812	10.004	6.30
7	108.684	25.487	23.45 *

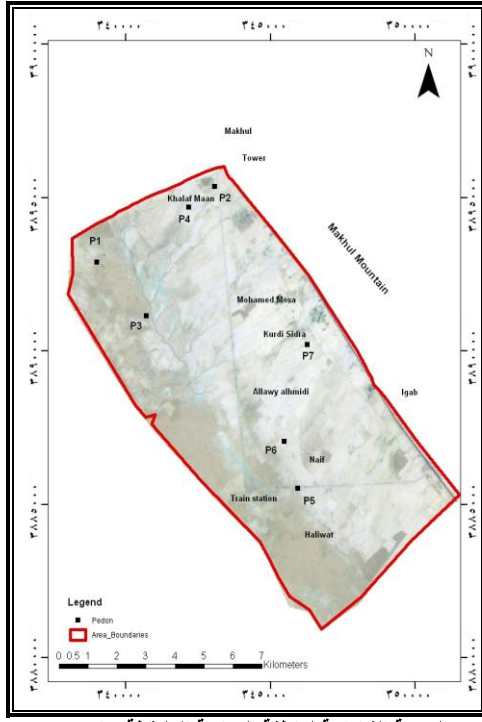
جدول رقم (7) الوسط الحسابي والانحراف القياسي ومعامل الاختلاف لانعكاسية الحزم الستة للمرئية الفضائية الملتقطة عام 2007

Bands	Mean	Standard deviation	Coefficient of variation
1	81.579	60.895	74.65
2	50.048	38.438	76.80
3	69.049	54.587	79.06 *
4	67.536	51.979	76.96
5	108.971	85.903	78.83 *
7	67.713	54.493	80.48 *

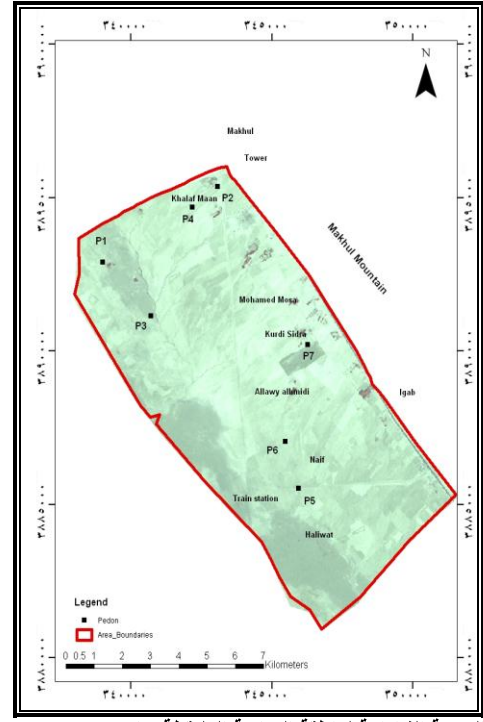
ملاحظة : الحزم التي تحمل إشارة (*) هي الحزم التي تمتلك أعلى معامل اختلاف .

الرمليّة (Sand Sheet) وأحياناً التربة المتأثرة بالملوحة والتربة الجبسية الكلسية بينما ظهرت في مناطق أخرى بشكل متداخل ومتوافق من الصعب عزل كل صنف على حده، وقد يعود السبب إلى تشابه أو تقارب صفات هذه التربة من حيث بعض خواصها الفيزيائية والكيميائية كالنسجة ومحتواها من الجبس والكلس ، وقد يعود السبب أيضاً إلى وجود غطاء نباتي في أثناء التقاط المرئية الفضائية لمنطقة الدراسة مما يؤدي إلى تقارب وتشابه انعكاسية هذه الأصناف وحصول التداخل بينها ، كما ظهرت مناطق الوديان الموجودة في المنطقة التي تنحدر من الشمال الشرقي باتجاه الجنوب الغربي لمنطقة الدراسة متداخلة مع الأصناف وفي بعض الأحيان تعمل كمناطق تعزل بعض الوحدات المتداخلة الأصناف عن الوحدات الأخرى المجاورة .

وقد تم تصنيف الجزء الخاص بمنطقة الدراسة تصنيفاً غير موجه باستخدام البرنامج (ERDAS – 8.6) ولجميع المرئيات الفضائية المستخدمة في الدراسة . وتم إعادة التصنيف أربع مرات لكل مرئية ، يتم في كل مرة تغيير عدد الأصناف (خمسة ، ستة ، سبعة ، ثمانية) وذلك من أجل التوصل إلى أفضل تصنيفاً متوقعاً لتربة المنطقة ومقارياً لما هو عليه في الواقع ، وأظهرت النتائج بأن التصنيف غير الموجه ذا الستة أصناف كان أفضل التصنيف ، إذ أظهر صورة واضحة وبدقة عالية. وبأقل تشويه مقارنة مع الخيارات الأخرى التي تم إجراؤها لمنطقة الدراسة ، إذ لوحظ بأن زيادة عدد الأصناف لا يغير شيئاً من المشهد ، بل العكس إذ كانت الزيادة تؤدي أحياناً إلى التشويه وعدم التمييز بين الأصناف كما أظهرت النتائج أيضاً بأن هناك أصنافاً ظهرت في مناطق معينة بشكل مميز وعزلت وصنفت كطبقة في برنامج Arc GIS كالكتبان الرملية والصفائح



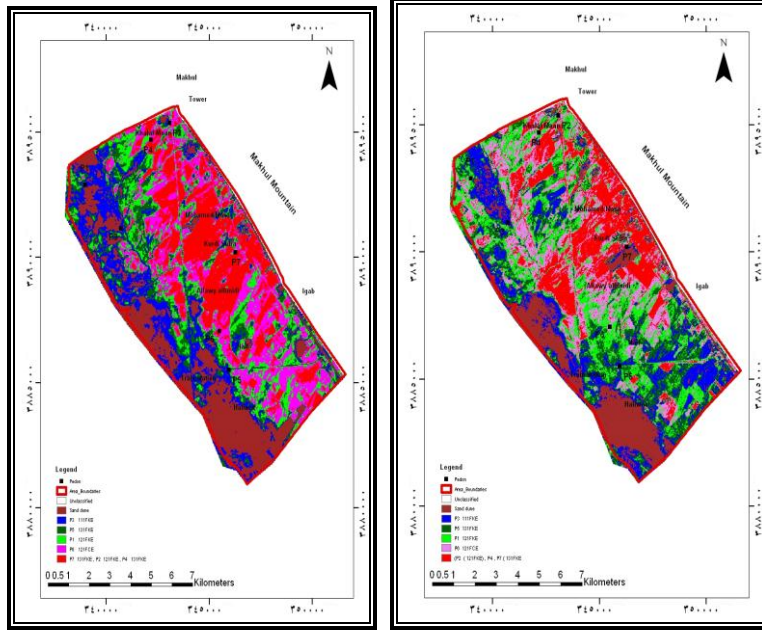
المرئية الفضائية لمنطقة الدراسة الملتقطة عام 2007
وبثلاث حزم طيفية (7_5_3).



المرئية الفضائية لمنطقة الدراسة الملتقطة عام 2000
وبثلاث حزم طيفية (7_3_2).

شكل رقم (2) المرئيات الفضائية لمنطقة الدراسة وبالجزم الطيفية المنتخبة لكل منها مثبت عليها مواقع " بيديونات " الترب المدروسة .

ويبين الشكل (3) نتائج التصنيف غير الموجه لمنطقة الدراسة اعتماداً على المرئيات الفضائية المستخدمة . بعد إجراء عملية التصنيف غير الموجه لمنطقة الدراسة اعتماداً على المرئيات الفضائية المستخدمة في هذه الدراسة تم احتساب المساحات لكل صنف من الأصناف الناتجة وذلك من قسمة عدد عناصر الصورة (Pixels) لكل صنف من الأصناف على مجموع عدد عناصر الصورة الكلي لكل الأصناف ومن ثم ضرب الناتج في المساحة الكلية لمنطقة الدراسة والتي بلغت حوالي (98.93) كم² .



المرئية الفضائية لمنطقة الدراسة الملتقطة عام 2007

المرئية الفضائية لمنطقة الدراسة الملتقطة عام 2000

وبثلاث حزم طبقية (3_5_7).

وبثلاث حزم طبقية (2_3_7).

شكل رقم (3) التصنيف غير الموجه لمنطقة الدراسة اعتماداً على المرئية الفضائية الملتقطة عامي 2000 و 2007 .

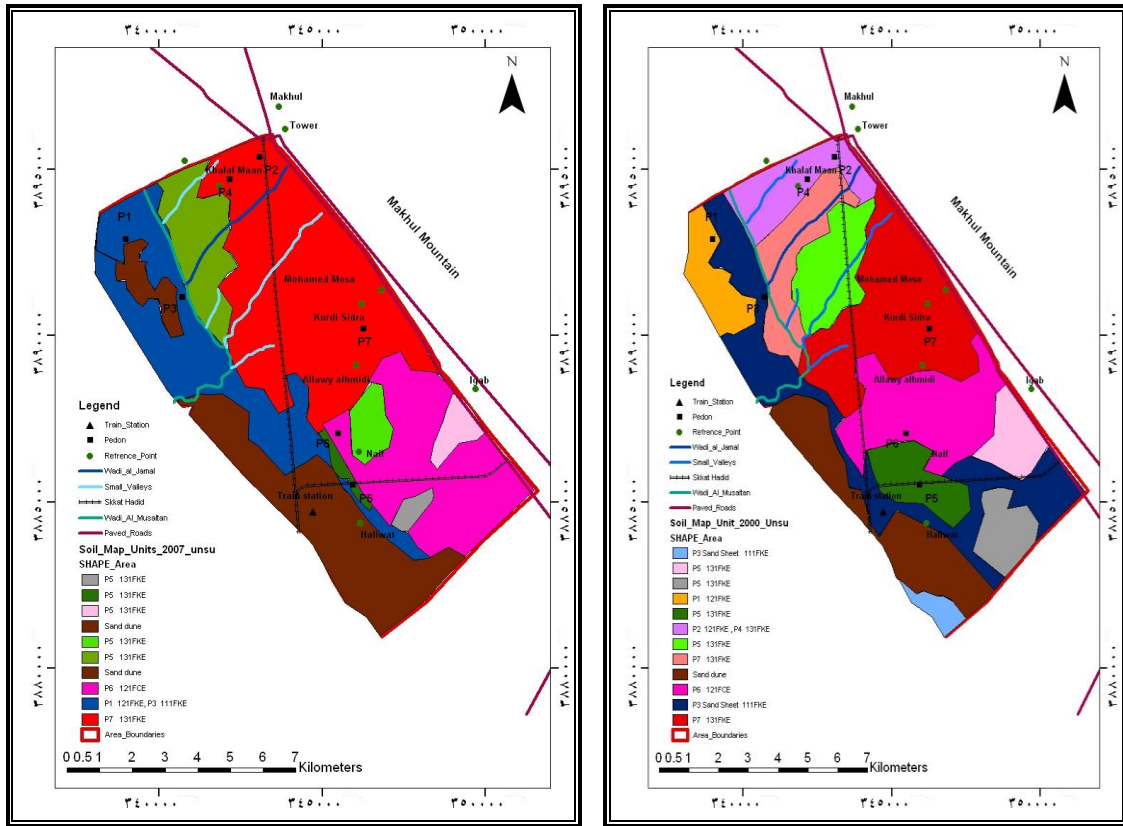
خرائط التربة المرسومة لمنطقة الدراسة والمرئيات الفضائية المستخدمة اذ يعود سبب التغيرات في مساحة وحدات خرائط التربة لمنطقة الدراسة إلى التباين في طبيعة توزيع الأصناف في المرئيتين الفضائيتين المستخدمتين والذي يعود إلى الاختلاف في الزمن والظروف المناخية السائدة لتلك الفترة بالإضافة إلى طبيعة استخدام الأرض كذلك أن هناك أصنافاً ظهرت معزولةً وحدها لبعض المرئيات ، في حين ظهرت نفس الأصناف متداخلة مع أصناف أخرى في مرئية ثانية وبالتالي ولصعوبة الفصل بين هذه الأصناف ولشدة التداخل بينهما رسمت كوحدة خارطة ضمت تداخل اثنين أو أكثر من الأصناف .

كما يوضح الجدول (8) نتائج التصنيف غير الموجه لمنطقة الدراسة اعتماداً على المرئيات الفضائية المستخدمة في هذه الدراسة . استخدم برنامج Arc GIS في استخلاص خرائط التصنيف غير الموجه ولجميع المرئيات الفضائية المستخدمة في هذه الدراسة ، إذ استحدثت طبقة مساحية (Polygon) خاصة بالتصنيف غير الموجه لكل مرئية فضائية بواسطة برنامج Arc cataloge ليتم استدعاؤها في برنامج Arc GIS ثم تفعل هذه الطبقة ، ويتم رسم وحدات خارطة التصنيف غير الموجه وعزل الأصناف الناتجة على شكل طبقات (Layers) بعدها يتم ترميزها (Smbology) بتحديد عدد الأصناف أو الوحدات التي رسمت وعزلت ، وإعطاء لون مميز لكل وحدة ، وإعطاء نفس اللون للوحدات التي عزلت وتكررت أكثر من مرة لنفس المكان في المرئيات الفضائية المستخدمة ، مع حساب مساحة كل وحدة على حده . ويبين الشكل (4) وحدات خارطة التصنيف غير الموجه للمرئيات الفضائية المستخدمة بعد تصنيفها إلى طبقات . ويبين الجدول (9) مساحة وحدات

جدول رقم (8) نتائج التصنيف غير الموجه لمنطقة الدراسة اعتماداً على المرئيات الفضائية المستخدمة

الأصناف اللون	الأول	الثاني	الثالث	الرابع	الخامس	السادس
المساحة كم ²	13.41	14.51	16.09	18.17	19.62	17.13
النسبة المئوية	13.55	14.66	16.27	18.37	19.84	17.31
المناطق الممتثلة له حقلياً	الكثبان الرملية	البدون الثالث (111FKE)	البدون الخامس (131FKE)	البدون الأول (121FKE)	البدون السادس (121FCE)	البدون الثاني والرابع والسادس (121FKE),(131FKE)
الأصناف اللون	الأول	الثاني	الثالث	الرابع	الخامس	السادس
المساحة كم ²	19.63	14.37	11.66	13.56	19.74	19.97
النسبة المئوية	19.84	14.53	11.78	13.70	19.95	20.19
المناطق الممتثلة له حقلياً	الكثبان الرملية	البدون الثالث (111FKE)	البدون الخامس (131FKE)	البدون الأول (121FKE)	البدون السادس (121FCE)	البدون الثاني والرابع والسادس (121FKE),(131FKE)

المرئية الفضائية



المرئية الفضائية لمنطقة الدراسة الملتقطة عام 2007

المرئية الفضائية لمنطقة الدراسة الملتقطة عام 2000

وبتلات حزم طيفية (7_5_3).

وبتلات حزم طيفية (7_3_2).

شكل (4) وحدات خارطة التصنيف غير الموجه لترب منطقة الدراسة اعتماداً على المرئيات الفضائية الملتقطة عامي 2000 و 2007 بعد تصنيفها الى طبقات (Layers) باستخدام برنامج Arc GIS .

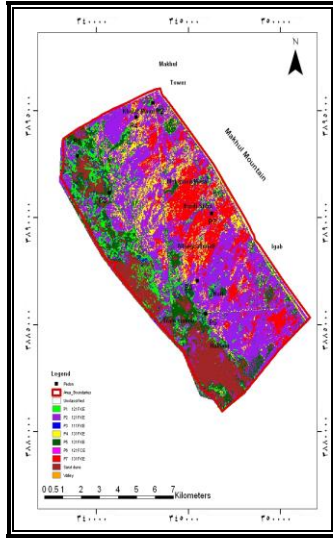
مكان أصناف أخرى مغايرة لها في التصنيف غير الموجه ، ويعود هذا إلى أن الصنف المنتخب من التصنيف الموجه قد غطى تأثيره على الصنف الناتج من عملية التصنيف غير الموجه ، إذ ظهر في المرئية الفضائية الملتقطة عام 2007 بأن الصنف المنتخب والممثل بالبيدون الأول قد ظهر مكان الصفائح الرملية التي كانت تمثل البيدون الثالث في التصنيف غير الموجه لنفس المرئية ، وهذا يعود إلى كون البيدون الأول يقع في منطقة قريبة من منطقة الصفائح الرملية متأثراً بزحف الكتبان الرملية وهذا ما لوحظ حقلياً . كذلك ظهر البيدون الخامس متداخلاً في منطقة البيدون الثالث وهذا يعود أيضاً إلى كون منطقة البيدون الخامس في قرية حليوات والتي كانت هي الأخرى متأثرة بزحف الصفائح والكتبان الرملية . كما يوضح الجدول (10) نتائج التصنيف الموجه لمنطقة الدراسة اعتماداً على المرئيات الفضائية الملتقطة عامي 2000 و 2007.

واستخدم هذا النوع من التصنيف في الجزء الخاص بمنطقة الدراسة ، إذ تمت العملية بتحديد مواقع التدريب المنتخبة على المرئيات الفضائية التي كانت تمثل مواقع البيدونات السبعة المشخصة حقلياً والتي أخذت إحداثياتها التربيعية (قيم التشريق و التشميل) بواسطة جهاز الـ GPS بالإضافة إلى منطقة الكتبان الرملية والوديان الموجودة في منطقة الدراسة ، بعدها تتم عملية التصنيف الموجه بجمع ووضع عناصر الصورة المتشابهة ووضعها في صنف واحد ، بعدها تعرض النتيجة بشكل خارطة يتم تحديد لون مميز ومحدد لكل صنف من الأصناف ويوضح الشكل (5) نتائج خرائط التصنيف الموجه لمنطقة الدراسة واعتماداً على المرئيات الفضائية المستخدمة واللون المحدد لكل صنف والتي كانت مقاربة لخرائط التصنيف غير الموجه من حيث شكل ومكان توزيع الأصناف في منطقة الدراسة على الرغم من زيادة عدد الأصناف المختارة بالتصنيف الموجه ، كما يلاحظ أيضاً بأن هناك أصنافاً معينة ظهرت في التصنيف الموجه ، واحتلت

جدول رقم (9) مساحة وحدات خارطة التربة المرسومة بواسطة برنامج Arc GIS اعتماداً على خارطة التصنيف غير الموجه لمنطقة

الدراسة والمرئيات الفضائية الملتقطة عامي 2000 و 2007		وحدات الخارطة	اللون	المساحة كم ²	
2000		(131FKE) الممثلة بالبيدون السابع		19.21	
		(121FCE) الممثلة بالبيدون السادس		12.56	
		وحدة الكتبان الرملية		10.75	
		(111FKE) الممثلة بالبيدون الثالث		17.57	
		(111FKE) جنوب غرب منطقة الدراسة والممثلة بالبيدون الثالث		1.31	
		(131FKE) الممثلة بالبيدون الخامس		4.80	
		(131FKE) جنوب منطقة الدراسة والممثلة بالبيدون الخامس		3.76	
		(131FKE) شرق منطقة الدراسة والممثلة بالبيدون الخامس		3.69	
		(121FKE) الممثلة بالبيدون الأول		4.42	
		(131FKE) شمال منطقة الدراسة والممثلة بالبيدون السابع		7.28	
		(121FKE) الممثلة بالبيدون الثاني ، (131FKE) الممثلة بالبيدون الرابع		6.77	
		البيدون الخامس شمال منطقة الدراسة (131FKE)		6.82	
	2007		وحدات الخارطة		المساحة كم ²
			(121FKE) الممثلة بالبيدون الثاني ، (131FKE) الممثلة بالبيدون الرابع والسابع		31.98
		(131FKE) شمال منطقة الدراسة والممثلة بالبيدون الخامس		7.42	
		(121FKE) الممثلة بالبيدون الأول ، (111FKE) الممثلة بالبيدون الثالث		17.99	
		وحدة الكتبان الرملية جنوب غرب		16.16	
		(131FKE) الممثلة بالبيدون الخامس		0.87	
		(121FCE) الممثلة بالبيدون السادس		17.43	
		(131FKE) وسط منطقة الدراسة والممثلة بالبيدون الخامس		2.25	
		(131FKE) شرق منطقة الدراسة والممثلة بالبيدون الخامس		1.75	
		(131FKE) جنوب منطقة الدراسة والممثلة بالبيدون الخامس		0.83	
	وحدة الكتبان الرملية شمال غرب منطقة الدراسة		2.22		

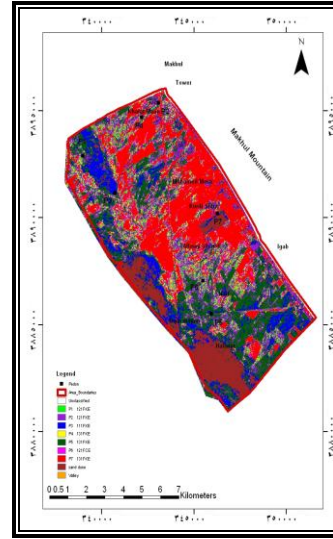
المرئية الفضائية



المرئية الفضائية لمنطقة الدراسة الملتقطة عام 2007

وبثلاث حزم طيفية (3_5_7).

شكل رقم (5) التصنيف الموجه لمنطقة الدراسة اعتماداً على المرئيات الفضائية الملتقطة عامي 2000 و 2007.



المرئية الفضائية لمنطقة الدراسة الملتقطة عام 2000

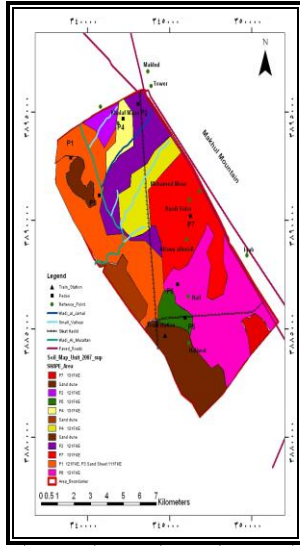
وبثلاث حزم طيفية (2_3_7).

أخرى غرب المنطقة وبمحاذاة وحدة الكثبان الرملية ، كما ظهرت التربة المتأثرة بالملوحة في أماكن متفرقة وسط وشمال وجنوب وشرق منطقة الدراسة كوحدة متمثلة بالبيدون الخامس للمريئة الفضائية الملتقطة في الأعوام 2000 و 2007 فضلاً عن التربة الجبسية الكلسية والتي ظهرت في بعض الأحيان شرق منطقة الدراسة متمثلة بالبيدون السابع وظهرت في أماكن أخرى متمثلة بالوحدة المتداخلة الأصناف بين البيدون الثاني والرابع . ويوضح الشكل رقم (6) وحدات خارطة التصنيف الموجه لتربة منطقة الدراسة اعتماداً على المرئيات الفضائية الملتقطة عامي 2000 و 2007 بعد تصنيفها إلى طبقات (Layers) باستخدام برنامج Arc GIS ، كما يبين الجدول رقم (11) مساحة وحدات خارطة التربة المرسومة بواسطة برنامج Arc GIS اعتماداً على خارطة التصنيف الموجه لمنطقة الدراسة والمرئيات الفضائية المستخدمة .

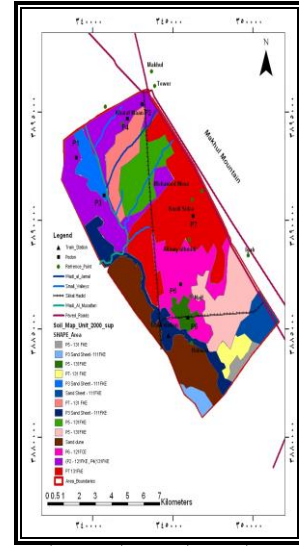
استخدم برنامج Arc GIS في استخلاص خرائط التصنيف الموجه ولجميع المرئيات الفضائية المستخدمة في هذه الدراسة ، إذ استحدثت طبقة مساحية (Polygon) خاصة بالتصنيف الموجه لكل مرئية من المرئيات المستخدمة بنفس الطريقة التي استخدمت في رسم خرائط التصنيف غير الموجه لمنطقة الدراسة . وعند مقارنة خرائط التربة المرسومة والمستخلصة من نتائج التصنيف الموجه وغير الموجه للمرئيتين الفضائيتين وعلى الرغم من الاختلاف في شكل وتوزيع وحدات الخارطة للتصنيف الموجه وغير الموجه للمرئية الفضائية نفسها وللأعوام 2000 و 2007 والذي يعود إلى الاختلاف في الزمن الذي التقطت فيه كل مرئية من المرئيات الفضائية وطبيعة الظروف المناخية السائدة في تلك الفترة فضلاً عن طبيعة استخدام الأرض إلى أن هناك تقارباً وتشابهاً في بعض وحدات الخارطة كوحدة الكثبان الرملية التي ظهرت في الجزء الغربي والجنوبي الغربي لمنطقة الدراسة فضلاً عن وحدة الصفائح الرملية والتي ظهرت في بعض الأحيان شمال غرب منطقة الدراسة ، وفي أحيان

جدول رقم (10) نتائج التصنيف الموجه لمنطقة الدراسة اعتماداً على المرئيات الفضائية المستخدمة

الأصناف																		
التاسع		الثامن		السابع		السادس		الخامس		الرابع		الثالث		الثاني		الأول		
الوديان		الكثبان الرملية		البدون السابع (131FKE)		البدون السادس (121FCE)		البدون الخامس (131FKE)		البدون الرابع (131FKE)		البدون الثالث (111FKE)		البدون الثاني (121FKE)		البدون الأول (121FKE)		
الألوان																		
النسبة		النسبة		النسبة		النسبة		النسبة		النسبة		النسبة		النسبة		النسبة		
المساحة		المساحة		المساحة		المساحة		المساحة		المساحة		المساحة		المساحة		المساحة		
المنوية		المنوية		المنوية		المنوية		المنوية		المنوية		المنوية		المنوية		المنوية		
كم ²		كم ²		كم ²		كم ²		كم ²		كم ²		كم ²		كم ²		كم ²		
0.04	0.04	10.52	10.41	25.17	24.90	6.27	6.21	22.36	22.12	5.37	5.31	9.13	9.03	15.20	15.04	5.93	5.87	2000
0.15	0.15	13.41	13.27	13.42	13.28	1.61	1.60	10.92	10.81	9.89	9.79	1.34	1.33	41.48	41.04	7.74	7.66	2007



المرئية الفضائية لمنطقة الدراسة المتقطعة عام 2007
وبثلاث حزم طيفية (7_5_3).



المرئية الفضائية لمنطقة الدراسة المتقطعة عام 2000
وبثلاث حزم طيفية (7_3_2).

شكل رقم (6) وحدات خارطة التصنيف الموجه لترب منطقة الدراسة اعتماداً على المرئيات الفضائية المتقطعة عامي 2000 و 2007 بعد تصنيفها إلى طبقات (Layers) باستخدام برنامج Arc GIS .

جدول رقم (11) مساحة وحدات خارطة التربة المرسومة بواسطة برنامج Arc GIS اعتماداً على خارطة التصنيف الموجه لمنطقة الدراسة وللمرئيات الفضائية المتقطعة عامي 2000 و 2007 .

المساحة كم ²	اللون	وحدات الخارطة	
10.33		وحدة الكتبان الرملية	2000
21.55		(131FKE) الممثلة بالبيدون السابع	
3.04		(111FKE) الممثلة بالبيدون الثالث	
5.36		(131FKE) شمال منطقة الدراسة والممثلة بالبيدون السابع	
7.11		(131FKE) شمال منطقة الدراسة والممثلة بالبيدون الخامس	
15.68		(121FKE) الممثلة بالبيدون الأول والثاني ، و(131FKE) الممثلة بالبيدون الرابع	
3.32		(111FKE) جنوب شرق منطقة الدراسة والممثلة بالبيدون الثالث	
1.24		(111FKE) جنوب غرب منطقة الدراسة والممثلة بالبيدون الثالث	
6.46		(111FKE) بمحاذاة الكتبان الرملية والممثلة بالبيدون الثالث	
1.65		(131FKE) الممثلة بالبيدون الخامس	
9.18		(131FKE) شرق منطقة الدراسة والممثلة بالبيدون الخامس	
10.71		البيدون (121FCE) الممثلة بالبيدون السادس	
2.04		البيدون (131FKE) جنوب منطقة الدراسة والممثلة بالبيدون السابع	
1.01		(131FKE) جنوب منطقة الدراسة والممثلة بالبيدون الخامس	
		وحدات الخارطة	2007
3.36		وحدة الكتبان الرملية غرب منطقة الدراسة	
9.34		وحدة الكتبان الرملية جنوب غرب منطقة الدراسة	
2.51		(131FKE) الممثلة بالبيدون الخامس	
19.54		(121FKE) الممثلة بالبيدون الأول،(111FKE) الممثلة بالبيدون الثالث	
11.20		(121FKE) الممثلة بالبيدون الثاني	
20.93		(121FCE) الممثلة بالبيدون السادس ، (121FKE) الممثلة بالبيدون الثاني	
16.97		(131FKE) الممثلة بالبيدون السابع	
7.05		(131FKE) وسط منطقة الدراسة الممثلة بالبيدون الرابع	
2.83		(131FKE) شمال منطقة الدراسة والممثلة بالبيدون الرابع	
2.06		(121FKE) شمال منطقة الدراسة والممثلة بالبيدون الثاني	
1.67		(131FKE) جنوب شرق منطقة الدراسة والممثلة بالبيدون السابع	
1.98		وحدة الكتبان الرملية شمال غرب منطقة الدراسة	

Fazal, Shahab.(2008). GIS Basic. New age International Publishers, First edition:2008 .339p .

Jackson,M.L.,(1958).Soil Chemical Analysis .Prentic-Hall Inc.Engle wood , Cliffs , N.J.

Kilmer,V.J. and Alexander,L.T.(1949). Methods of making mechanical analysis of soils. Soil.Sci. 68:15-24.

Parry.R.B.& Perkins C.R.(1987). World Mapping Today , University of Reading,Dep of Geography,UK.

Rants, Eric V.Goossens R.1998. The use of Remote Sensing to map gypsiferous soil in the Ismailia province (Egypt) Geoderma J. 87: 47-56.

Richards,L.A.(Ed).(1954). Dignosis and imporvement of Saline and alkali soils. Agriculture Handbook 60. USDA..

Savant,N.K,1994.Simplified methylene blue method for rapid determination of CEC of mineral Soil.Soil Sci. plant.Anal.25:3356-3364p.

Soil Survey Staff.(1993). Soil Survey manual, USDA. Handbook no 18 ,US Government printing office Washington.D.C.20402.

Soil Survey Staff.(1999). Soil taxonomy.Abasic method for making & interpereting soil Surveys. 2nd ed. USDA. NRCS agric hand 436- U.S. GOV.print. Office , Washington.

أكدت نتائج الدراسة أن استعمال برامجيات نظم المعلومات الجغرافية كان لها الأثر الفعال والمفيد جداً في تعديل خرائط مسح وتصنيف التربة المعدة من قبل الجهات ذات العلاقة ، ووضع وحدات التربة كوحدة مساحية وبعض المعالم الخطية في مكانها الجغرافي الصحيح بما يتفق مع الواقع ويتطابق مع المرئيات الفضائية المستخدمة ، وبالنتيجة إمكانية استخلاص المعالم منها بشكل صحيح ودقيق بما يتلائم مع هدف الدراسة فضلاً عن إعداد ورسم خرائط مسح وتصنيف التربة بالاعتماد على خرائط التصنيف الموجه وغير الموجه للمرئيات الفضائية وخرن وتوثيق كافة البيانات والمعلومات المتعلقة بها مع تقليل الجهد والكلفة ، وأظهرت الدراسة أن تقنية الاستشعار عن بعد ساهمت وبشكل فعال و متميز بعد إجراء المعالجة الرقمية (التصنيف الموجه وغير الموجه) للمرئيات الفضائية المستخدمة ودمج الحزم الطيفية المنتخبة في توليفات ساهمت في تحديد وحدات التربة لمنطقة الدراسة وأظهرت وحدة الكتبان الرملية والصفائح الرملية كأصناف متميزة ومعزولة ، وأظهرت التربة الجبسية الكلسية والتربة المتأثرة بالملوحة والتربة الكلسية كأصناف معزولة في بعض الأحيان ومتداخلة في أحيان أخرى ، وهذا يعود لتقارب وتشابه خواصها الانعكاسية فضلاً عن تشابه وتقارب طبيعة مكونات التربة الأصلية للطبقات السطحية . كما أكدت الدراسة أن التصنيف غير الموجه ذا الستة أصناف كان أفضل الخيارات وأقربها للواقع في تصنيف تربة منطقة الدراسة والذي كان له دور فعال و متميز في إعداد الخرائط الأولية للتربة، إذ اظهر إمكانية عالية في توزيع الأصناف بشكل مقارب للتصنيف الموجه ، وهذا ما تم التأكد منه بعد إجراء العمل الميداني ، كما بينت نتائج الدراسة أن جميع بيديونات المنطقة المدروسة تعود إلى رتبة التربة الجافة (Aridisols) وتحت الرتبتين (Gypsisds) و(Calcids) .

وأظهرت النتائج تدهور بعض الخواص الإنتاجية للتربة في المنطقة بسبب زيادة مستوى الملوحة فيها أو بسبب زحف الكتبان الرملية عليها فضلاً عن انخفاض قيم السعة التبادلية الكاتيونية بسبب انخفاض محتواها من المواد العضوية وزيادة محتواها من الكلس والجبس .

المصادر

الزبيدي، نجيب عبد الرحمن وحسين مجاهد مسعود(2005). علم الخرائط، الطبعة العربية ، دار اليازودي العلمية للنشر والتوزيع ، عمان،الأردن

عبد الهادي ، عبد رب النبي محمد (1992). علم الاستشعار عن بعد - معالجة بيانات الأقمار الصناعية ورسم الخرائط - الدار العربية للنشر والتوزيع ، جامعة قناة السويس

AL- Agidi . W.K.(1981). Proposed Soil Classification at the Series Level for Iraqi Soil : II- Zonal Soils, Baghdad Uni.Tech.Bull No.2.

Apline, P.,atkinson P.M. and Curran, P.J.(1997). Fine Spatial Resolution Satalite Sensors for the Next Decad, INT J.Remote Sensing, Vol. 18 No.18:pp.3873-3881. Black,C.A.(1965). Methods of soil analysis . Amer.Sco.of Agron.No.9 part 2 Madson Wisconsin (U.S.A):770p.